

ЭЛЕКТРИЧЕСКИЕ  
И МАГНИТНЫЕ СВОЙСТВА

УДК 669.1'782.539.216.2:537.622.4

ИЗМЕНЕНИЕ НАМАГНИЧЕННОСТИ МУЛЬТИСЛОЙНЫХ  
НАНОСТРУКТУР Fe/Si В ПРОЦЕССЕ СИНТЕЗА И ПОСТРОСТОВОГО  
НАГРЕВА

© 2008 г. С. Н. Варнаков\*,\*\*, С. В. Комогорцев\*, J. Bartolome\*\*\*, J. Sesé\*\*\*\*,  
С. Г. Овчинников\*, А. С. Паршин\*\*, Н. Н. Косырев\*

\*Институт физики им. Л.В. Киренского СО РАН, 660036 Красноярск, Академгородок

\*\*Сибирский государственный аэрокосмический университет им. акад. М.Ф. Решилтнева,  
660014 Красноярск, просп. Красноярский рабочий, 31

\*\*\*Instituto de Ciencia de Materiales de Aragón. CSIC – Universidad de Zaragoza, Zaragoza, 50009, Spain

\*\*\*\*Instituto de Nanociencia de Aragón, Universidad de Zaragoza, Zaragoza, 50009 Spain

Поступила в редакцию 27.04.2007 г.;  
в окончательном варианте – 02.10.2007 г.

Представлены результаты исследований намагниченности многослойных пленок Fe/Si с нанометровыми слоями, полученных термическим испарением в сверхвысоком вакууме. В пленках (Fe/Si)<sub>n</sub> обнаружена зависимость величины намагниченности и ее температурного градиента от толщины индивидуального слоя Fe. Показано, что эта зависимость является следствием образования химического интерфейса на границах раздела Fe–Si в процессе синтеза – немагнитной фазы, доля которой составляет до 50% от толщины индивидуального слоя Fe. На основе анализа необратимого изменения намагниченности, предложен метод оценки кинетических коэффициентов реакции синтеза немагнитного силицида, протекающей в многослойныхnanoструктурах Fe/Si при высоких температурах. На примере пленки Fe(1.2 нм)/Si(1.5 нм)/Fe(1.2 нм)/Si(1.5 нм)/Fe(1.2 нм)/Si(10 нм) этим методом определена энергия активации  $E_a$  и коэффициент диффузии и  $D_0$ .

PACS: 75.70.Cn, 81.15.Kk

## 1. ВВЕДЕНИЕ

Все возрастающий интерес в последние годы проявляется к многослойным магнитным структурам в связи с уникальностью их физических свойств и перспективами практического использования [1–3]. В пленочных nanoструктурах Fe/Si наблюдаются такие свойства, как температурно-зависимое изменение параметра обменного взаимодействия [4], фотоиндукционное изменение межслоевого обменного взаимодействия [5].

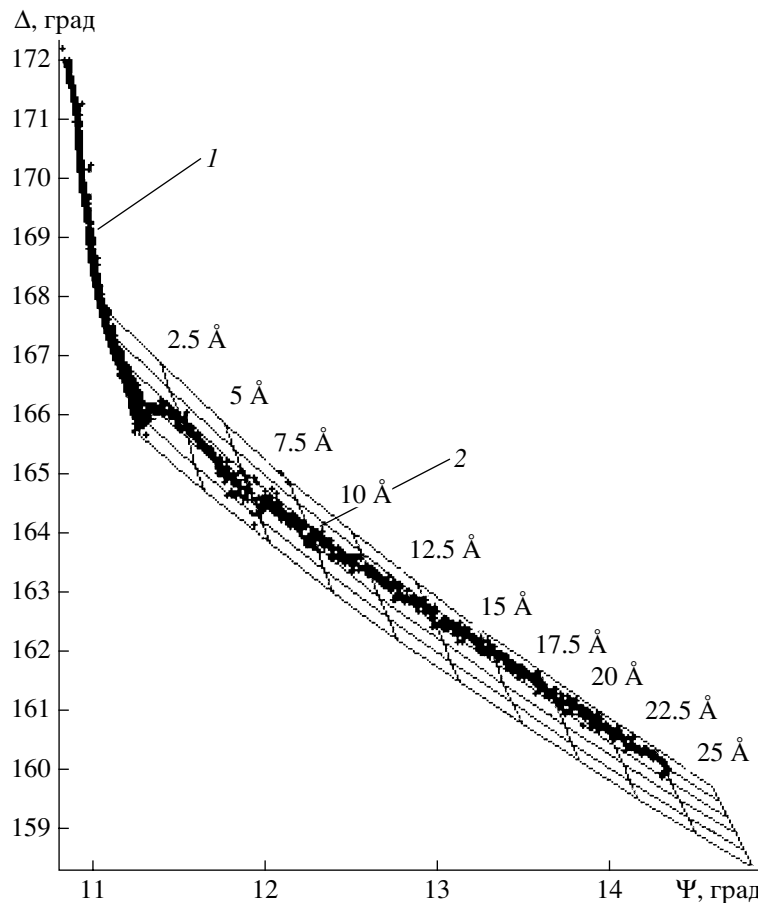
В большинстве теоретических моделей для описания этих физических свойств предполагается, что границы раздела слоев в многослойных nanoструктурах сплошные и резкие [4]. В то же время известно, что в материалах подобного типа при нанометровой толщине индивидуальных слоев важными типами структурного несовершенства, способными существенным образом повлиять на физические свойства, являются шероховатость поверхности раздела соседних слоев и их взаимная диффузия [6].

В данной работе объектом исследования является зависимость относительного количества немагнитной фазы, которая формируется на границе раздела слоев как в процессе синтеза пленок, так и в дальнейшем за счет процессов, протекаю-

щих при повышенных температурах, от толщины нанометрового слоя в пленках (Fe/Si)<sub>n</sub>.

## 2. ЭКСПЕРИМЕНТ

Образцы были получены методом термического испарения в сверхвысоком вакууме на подложках монокристаллического кремния Si(100) и Si(111) с тонким буферным слоем SiO<sub>2</sub> (2 нм) при комнатной температуре на модернизированной установке молекулярно-лучевой эпитаксии “Ангары” [7]. Базовый вакуум в технологической камере составлял 10<sup>-7</sup> Па. Скорость роста слоев соответствующих материалов и толщина контролировалась *in situ* быстрым действующим лазерным эллипсометром ЛЭФ-751М и составляла для железа 0.3 и 1.4 нм/мин для кремния. На рис. 1 представлен фрагмент зависимости эллипсометрических параметров  $\Psi$  и  $\Delta$  в процессе роста пленки Si/Fe. Участок 1 (левее особенности с координатами  $\Psi \approx 11.3^\circ$  и  $\Delta \approx 166^\circ$ ) соответствует росту слоя кремния, участок 2 (правее особенности) соответствует росту слоя железа. Также на рис. 1 приведены расчетные линии одинаковой толщины, позволяющие отслеживать *in situ* толщину пленки железа [8]. Толщины пленок дополнены



**Рис. 1.** Зависимость эллипсометрических параметров  $\Psi$  и  $\Delta$  в процессе роста пленки Si/Fe. Участок 1 соответствует росту слоя кремния, 2 – железа. Моделирование проводилось с помощью приближения многослойной системы [9].

тельно контролировались с помощью стандартного метода рентгеновской флуоресценции.

В данной работе были исследованы пленки  $\text{Si}(hkl)/\text{SiO}_2(2 \text{ нм})/\text{Fe}(d_{\text{Fe}})/\text{Si}(1.5 \text{ нм})/\text{Fe}(d_{\text{Fe}})/\text{Si}(1.5 \text{ нм})/\text{Fe}(d_{\text{Fe}})/\text{Si}(10 \text{ нм})$  с варьируемой толщиной железа  $d_{\text{Fe}}$  (1.2, 1.6, 2.6, 3.8 нм).

Контроль температуры испарителей, управление заслонками в процессе формирования многослойной структуры осуществлялись автоматизированным программно-аппаратным комплексом [7]. Качественный и количественный состав получаемых слоев проводился *in situ* методами электронной оже-спектроскопии (ЭОС) и спектроскопии характеристических потерь энергии электронов (СХПЭЭ). Для количественной интерпретации экспериментальных спектров ХПЭЭ использованы новые методы обработки [10]. Из сечений неупругого рассеяния электронов, определенных из экспериментальных спектров для двухслойных структур Fe/Si, рассчитаны объемные вклады железа и кремния в интерфейсе, в зависимости от толщины верхнего слоя железа  $d_{\text{Fe}}$  или кремния  $d_{\text{Si}}$ . Кривые малоуглового рентгеновского рассеяния (MRR) полученных многослойных пленок

(Fe/Si) <sub>$n$</sub> , изученные в работе [11], указывают на хорошо определенную сверхрешетку, характерные периоды модуляции которой хорошо согласуются с технологически заданным регламентом.

Определение магнитных характеристик (Fe/Si) <sub>$n$</sub>  проводилось на СКВИД магнитометре [12] в диапазоне температур от 4.2 до 800 К. Магнитный момент в отсутствие поля лежит в плоскости пленок, что проявляется в характерных прямоугольных петлях гистерезиса, полученных в геометрии – внешнее поле  $H$  параллельно плоскости пленки. Величина коэрцитивной силы  $H_C$  исследуемых образцов составляла от 60 до 200 Э. Температурный ход намагниченности измерялся во внешнем поле  $H = 700$  Э, соответствующего состоянию магнитного насыщения.

### 3. РЕЗУЛЬТАТЫ И ОБСУЖДЕНИЕ

Исследования намагниченности от температуры в диапазоне от 4.2 до 400 К показали, что и сама величина намагниченности, и ее температурный ход являются обратимыми и отличаются в пленках с различной толщиной слоя Fe: с уменьшением

Сводные данные величин намагниченности  $M_0$  и количества немагнитной фазы  $x$  для пленок Si( $hkl$ )/SiO<sub>2</sub> (2 нм)/Fe( $d_{\text{Fe}}$ )/Si(1.5 нм)/Fe( $d_{\text{Fe}}$ )/Si(1.5 нм)/Fe( $d_{\text{Fe}}$ )/Si(10 нм) с различной толщиной слоев железа  $d_{\text{Fe}}$

Толщина слоя железа $d_{\text{Fe}}$ , нм	1.2	1.6	2.6	3.8
$M_0$ , Гс на Si(100)	870	1010	1375	1740
$x$ на Si(100)	0.50	0.42	0.21	0.00
$M_0$ , Гс на Si(111)	905	1305	1500	1720
$x$ на Si(111)	0.48	0.25	0.14	0.01

толщины слоя Fe намагниченность уменьшается, а величины ее температурного градиента возрастают [13]. В нашей работе [13] также было показано, что кривые  $M(T)$  отличаются для пленок, полученных на подложках кремния с различной кристаллографической ориентацией. Экспериментальные кривые, полученные в работе [13], были описаны теоретическими выражениями, дающими уменьшение намагниченности с температурой за счет возбуждения тепловых магнонов. Это позволило определить такие параметры, как  $M_0$  – намагниченность при 0 К, а также величину константы обменного взаимодействия. Было показано, что уменьшение намагниченности  $M_0$  от толщины индивидуального слоя Fe является следствием образования немагнитного химического соединения на границах раздела Fe–Si. Однако в [13] мы обрабатывали зависимость намагниченности  $M_0$  от толщины индивидуального слоя Fe, предполагая независимость параметров интерфейса от  $d_{\text{Fe}}$ . В этой работе мы рассмотрим общий случай, не делая дополнительных предположений о зависимости параметров интерфейса от  $d_{\text{Fe}}$ .

Из публикаций по структуре и фазовому составу структур Fe–Si следует, что в них образуются как стабильные фазы: магнитные твердые растворы Fe–Si, немагнитные силициды  $\varepsilon$ -FeSi,  $\beta$ -Fe<sub>2</sub>Si, так и метастабильные силициды Fe<sub>3</sub>Si,  $\alpha$ -FeSi<sub>2</sub>,  $c$ -FeSi [14]. Величина намагниченности гетерофазной структуры является усредненной, и будет определяться фазовым составом и величинами намагниченностей составляющих фаз. В термодинамическом равновесии в непосредственном контакте с магнитной фазой (твердые растворы  $\alpha$ Fe(Si) должна находиться немагнитная фаза – моносилицид FeSi [15]). В нашем случае часть Fe может попадать в состав немагнитных фаз уже в процессе синтеза, поэтому намагниченность пленок с толщиной индивидуального слоя Fe меньше 2 нм при  $T = 0$  К оказывается ниже намагниченности Fe<sub>75</sub>Si<sub>25</sub> (1200 Гс) [13].

Изменение величины намагниченности  $M_0$ , обусловленное формированием немагнитных силицидов, описывается выражением:

$$M_0 = M_{\text{bcc}}(1 - x), \quad (1)$$

где  $x$  – относительная объемная доля немагнитной фазы,  $M_{\text{bcc}}$  – намагниченность  $\alpha$ -фазы железа. Используя для оценки  $M_{\text{bcc}} = 1740$  Гс и величины  $M_0$  (см. таблицу), мы получили величины  $x$  количества немагнитной фазы, образовавшейся в процессе синтеза пленок.

Общей особенностью всех зависимостей  $M(T)$  является то, что при нагреве выше некоторой температуры  $T_s$  (400–650 К) зависимость  $M(T)$  становится необратимой. Характерный пример такой зависимости намагниченности (в приведенных единицах  $m(T) = M/M(0)$ ) проиллюстрирован на рис. 2 для пленки с  $d_{\text{Fe}} = 1.2$  нм, полученной на Si(111).

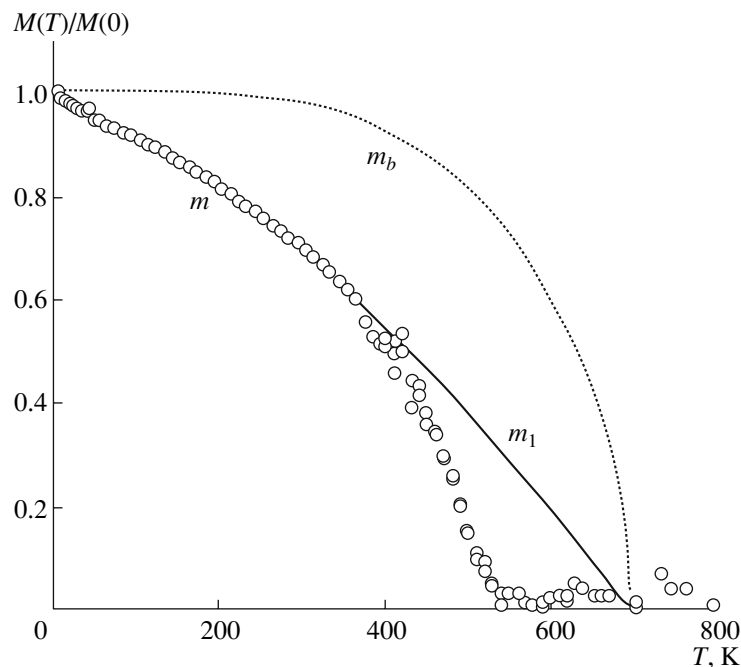
Пунктирной линией на рис. 2 показан ход намагниченности (для  $\alpha$ Fe(Si)), соответствующий теории среднего поля для структурно-совершенных объемных ферромагнетиков. В нашем случае вид зависимости  $m(T)$  иной, характерный для структурно-разупорядоченных и низкомерных ферромагнетиков, что видно из несовпадения  $m_b(T)$  с  $m(T)$  в низких температурах. Далее мы подобрали параболическую функцию  $m_1(T)$  (сплошная линия), удовлетворяющую следующим условиям:  $m_1(0) = 1$ ;  $m_1(T_C$  для  $\alpha$ Fe(Si)) = 0 и  $m_1(T)$  хорошо описывает уменьшение намагниченности в области температур от 0 до 400 К. Величина  $X' = (m_1(T) - m(T))/m_1(T)$ , таким образом, дает долю образовавшейся немагнитной фазы (рис. 3).

Протекание твердотельной реакции  $\text{Fe} + \text{Si} \rightarrow \text{FeSi}$ , происходящей на границе раздела слоев, связано с диффузией Fe и Si через слой уже образовавшегося силицида. Этот механизм определяет скорость реакции. Кинетическое уравнение, учитывающее изменение температуры в процессе синтеза немагнитного силицида, можно записать следующим образом [16]:

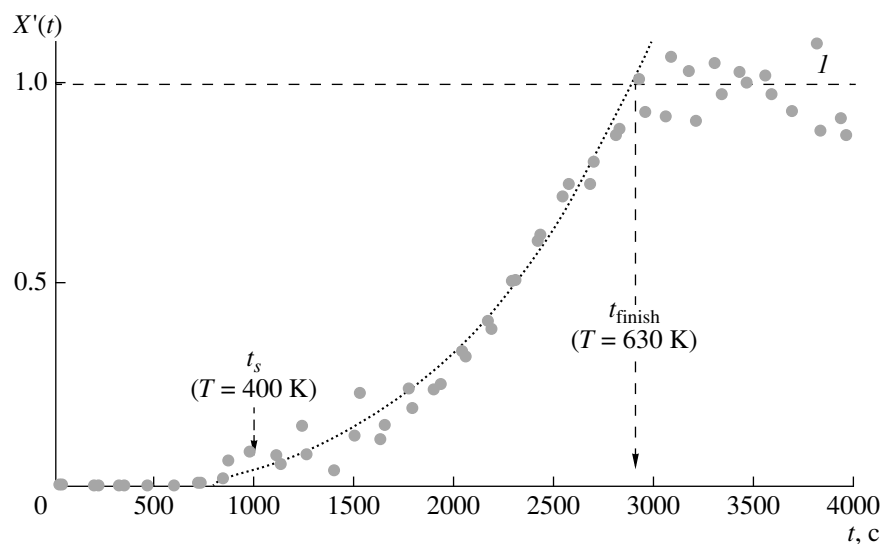
$$X'(t) \equiv \frac{d(t)}{d(t_{\text{finish}})} = \frac{\sqrt{D(T)(t - t_s)}}{d(t_{\text{finish}})} = \frac{\sqrt{D_0(t - t_s) \exp(-E_a/(k_B \alpha t))}}{d(t_{\text{finish}})}, \quad (2)$$

где  $d(t)$  – толщина слоя образовавшегося силицида;  $D_0$  – коэффициент диффузии;  $E_a$  – энергия активации;  $k_B$  – постоянная Больцмана;  $\alpha = 5$  К/мин – скорость нагрева. В приведенной формуле учитывается зависимость коэффициента диффузии от температуры, которая, в свою очередь, линейно увеличивается со временем  $T = \alpha t$ .

Описав зависимость  $X'(t) = d(t)/d(t_{\text{finish}})$  этим уравнением (пунктирная линия на рис. 3), мы получили:  $D_0 = 1.3 \times 10^{-12}$  см<sup>2</sup>/с;  $E_a = 0.7$  эВ, и оценка времени полного превращения дает ~2000 с.



**Рис. 2.** Зависимость намагниченности от температуры в приведенных единицах для пятислойной структуры Fe/Si с толщиной индивидуального слоя  $d_{\text{Fe}} = 1.2$  нм.



**Рис. 3.** Зависимость доли немагнитной фазы в пятислойной структуре Fe/Si с толщиной индивидуального слоя  $d_{\text{Fe}} = 1.2$  нм от времени твердотельной реакции.

Таким образом, установлено, что в синтезированных многослойныхnanoструктурах Fe/Si, на границе раздела изначально формируется немагнитная фаза, доля которой составляет до 50% от толщины индивидуального слоя Fe. На основе анализа необратимого изменения намагниченности предложен метод оценки кинетических коэффициентов реакции синтеза немагнитного силицида, протекающей в многослойных nanoструк-

турах Fe/Si при высоких температурах. На примере пленки Fe(1.2 нм)/Si(1.5 нм)/Fe(1.2 нм)/Si(1.5 нм)/Fe(1.2 нм)/Si(10 нм) этим методом определена энергия активации  $E_a$  и коэффициент диффузии  $D_0$ .

Работа выполнена в рамках программы ОФН РАН “Спинtronика”, комплексного интеграционного проекта СО РАН № 3.5, при поддержке Российского фонда фундаментальных исследований

(грант № 07-03-00320), гранта Президента МК-4931.2006.2, программы “Ramon y Cajal” и проекта MAT 2005/01272 of Spanish Ministry of Education and Science.

### СПИСОК ЛИТЕРАТУРЫ

1. Baibich M.N., Broto J.M., Fert A. et al. Giant magnetoresistance of (001)Fe/(001)Cr magnetic superlattices // Phys. Rev. Lett. 1988. V. 61. P. 2472–2475.
2. Camley R.E. and Stamps R.L. Magnetic multilayers: spin configurations, excitations and giant magnetoresistance // J. Phys. Condens. Matter. 1993. V. 5. № 23. P. 3727–3786.
3. Schuller I.K., Kim S., Leighton C. Magnetic superlattices and multilayers // JMMM. 1999. V. 200. P. 571–582.
4. Strijkers G.J., Kohlhepp J.T., Swagten H.J.M. and de Jonge W.J.M. Origin of biquadratic exchange in Fe/Si/Fe // Phys. Lett. 2000. V. 84. P. 1812–1815.
5. Патрин Г.С., Волков Н.В., Кононов В.П. Влияние оптического излучения на магнитный резонанс в трехслойных пленках Fe/Si/Fe // Письма в ЖЭТФ. 1998. Т. 68. С. 287–291.
6. Etienne du Tremolet de Lacheisserie, Gignoux D., Schlenker M. Magnetism: Materials and applications. Grenoble: University Joseph Fourier, Grenoble Sciences, 2005. 520 p.
7. Варнаков С.Н., Лепешев А.А., Овчинников С.Г. и др. Автоматизация технологического оборудования для получения многослойных структур в сверхвысоком вакууме // ПТЭ. 2004. Т. 6. С. 125–129.
8. Ovchinnikov S.G., Varnakov S.N., Kosyrev N.N. In situ ellipsometry for monitoring growth of three layer Fe/Si/Fe structure // Euro-Asian symposium “Trends in magnetism”. Krasnoyarsk, 2004. P. 303.
9. Азам Р., Башара Н. Эллипсометрия и поляризованный свет. М.: Мир, 1981. 583 с.
10. Parshin A.S., Aleksandrova G.A., Varnakov S.N. et al. Study of Fe/Si magnetic layered nanostructures by reflected electron energy loss spectroscopy // Journal of Surface Investigation. X-ray, Synchrotron and Neutron Techniques. 2007. V. 1. № 4. P. 462–465.
11. Варнаков С.Н., Паршин А.С., Овчинников С.Г. и др. Структурные и магнитные характеристики однослойных и многослойных пленок Fe/Si, полученных термическим испарением в сверхвысоком вакууме // Письма в ЖТФ. 2005. Т. 31. № 22. С. 1–8.
12. Sesé J., Bartolomé J. and Rillo C. Disposable sample holder for high temperature measurements in MPMS superconducting quantum interference device magnetometers // Rev. Sci. Instrum. 2007. V. 78. P. 046101.
13. Варнаков С.Н., Bartolomé J., Sesé J. и др. Размерные эффекты и намагниченность многослойных пленочных наноструктур (Fe/Si)<sub>n</sub> // ФТТ. 2007. Т. 49. В. 8. С. 1401–1405.
14. Mattson J.E., Kumar S., Fullerton E.E. et al. Photo-induced antiferromagnetic interlayer coupling in Fe superlattices with iron silicide spacers (invited) // J. Appl. Phys. 1994. V. 75. P. 6169–6173.
15. Smithells C.J. Metals reference book. London: Butterworths, 1967. V. 2. 683 p.
16. Lau S.S., Feng J.S.-Y., Olowolafe J.O. and Nicolet M.-A. Iron silicide thin film formation at low temperatures // Thin Solid Films. 1975. V. 25. P. 415–422.